

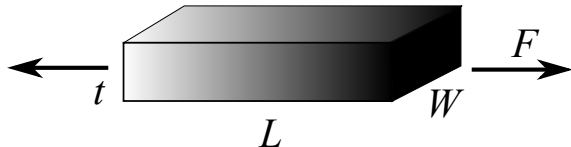
Необычная упругость двумерных гибких материалов

Игорь Бурмистров

Институт теоретической физики им. Л.Д. Ландау РАН



Закон Гука и модуль Юнга:



закон Гука:

$$\frac{F}{Wt} = E\varepsilon, \quad \varepsilon = \frac{\Delta L}{L}$$

E – объёмный модуль Юнга, ε – относительная деформация

Роберт Гук (1635 — 1703)

закон всемирного тяготения

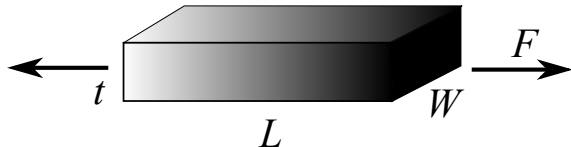
интерференция света

постоянство температуры кипения

термин 'клетка'



Закон Гука и модуль Юнга:



закон Гука для тонкой пластины:

$$\sigma = \frac{F}{W} = Y \frac{\Delta L}{L}$$

$Y = Et$ – модуль Юнга, σ – натяжение

Томас Юнг (1773 – 1829)

волновая теория света

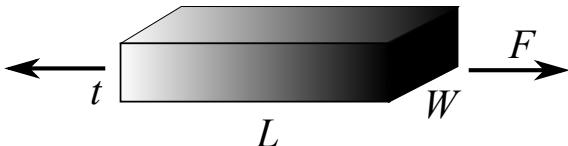
понятие ‘механическая энергия’

астигматизм

термин ‘индоевропейские языки’



Закон Гука и модуль Юнга:



закон Гука для тонкой пластины:

$$\sigma = \frac{F}{W} = Y \frac{\Delta L}{L}$$

$Y = Et$ – модуль Юнга, σ – натяжение

модуль Юнга дляmonoатомных слоев ($t \sim 1 \text{ \AA}$):

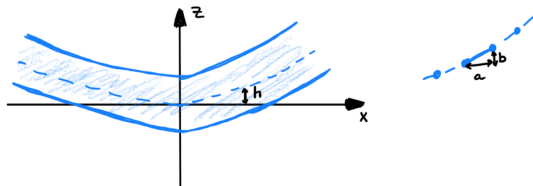
сосна	алюминиевая фольга	графен
$Y, \text{ Н/м}$	1	7

340

$1 \text{ \AA} = 10^{-10} \text{ метра}$, а толщина человеческого волоса примерно 1000000 \AA

чтобы растянуть лист графена на 1% нужно приложить давление 340 атм
— давление на глубине 340 метров под водой

Изгибная жесткость:



сохранение длины связи (теорема Пифагора):

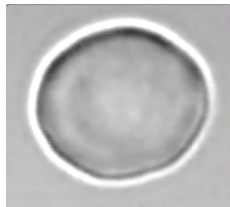
$$a^2 + b^2 = \text{const} \Rightarrow a\delta a + b\delta b = 0$$

$$a = L, \quad \delta a = L\varepsilon, \quad b = z, \quad \delta b = h \Rightarrow \varepsilon = -z \frac{h}{L^2}$$

энергия изгиба ($z \sim t$): $\mathcal{E}_{\text{bend}} \sim L^2 Y \varepsilon^2 \sim \kappa \frac{h^2}{L^2}, \quad \kappa = Y t^2$

для графена $\kappa \sim 1 \text{ эВ} \sim 10^{-19} \text{ Дж}, \kappa/k_B \sim 11000 K$

Тепловые флуктуации:



Роберт Браун (1773 — 1858)

клеточное ядро

тепловое (броуновское) движение



Тепловые флюктуации:

характерный изгиб, связанный с тепловыми флюктуациями:

$$\mathcal{E}_{\text{bend}} \sim \kappa \frac{h^2}{L^2} \sim k_B T \quad \Rightarrow \quad h^2 \sim L^2 \frac{k_B T}{\kappa} \ln(L/t)$$

тепловые флюктуации важны, если

$$h > t = \sqrt{\kappa/Y} \quad \Rightarrow \quad L > L_* \sim \kappa / \sqrt{Y k_B T}$$

длина Гинзбурга $L_* \sim t^{5/2}$

бумага ($t = 1$ мм)	графен ($t = 1$ Å)
L_*	10^3 км
	1 нм

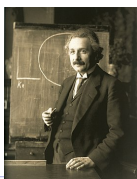
Альберт Эйнштейн (1879 — 1955)

броуновское движение

фотоэффект

эффект Эйнштейна-де Гааза

специальная и общая теории
относительности



отсутствие 2D кристаллов при конечных температурах

Bemerkungen über Umwandlungstemperaturen
von R. Peterls (Manchester).

In vielen, physikalisch voneinander sehr verschiedenen, aber formal analogen Erscheinungen findet man empirisch, dass sich bei einer bestimmten Temperatur ein Übergang von einem geordneten zu einem ungeordneten Zustand vollzieht¹⁾. Typische Fälle hierfür sind der Schmelzpunkt fester Körper und der Curiepunkt des Ferromagnetismus.

Es sind viele mathematische Methoden bekannt, um das Verhalten fester Körper für Temperaturen zu untersuchen, die entweder sehr hoch oder sehr niedrig sind, gemessen an der Umwandlungstemperatur. Dagegen versagen diese Methoden gewöhnlich für die Behandlung der Erscheinungen am Übergangspunkt selbst. Die Weiss'sche Theorie des Ferromagnetismus und ihr analoge Theorien anderer Erscheinungen sind zwar auch in diesem Gebiet näherungsweise richtig, jedoch wird dort der Typus des Verhaltens am Übergangspunkt im wesentlichen durch die Näherungsannahmen bestimmt, die man zur Vereinfachung der Theorie gemacht hat. Solche Verfahren sind daher sehr nützlich zur Beschreibung von Systemen, deren qualitatives Verhalten am Übergangspunkt man schon empirisch kennt, nicht aber zu einer theoretischen Untersuchung des Übergangspunktes selbst.

Man kann aber immerhin beweisen, dass eine definierte Übergangstemperatur existieren muss, und dass sich der Übergang nicht in jeder Beziehung kontinuierlich vollzieht, obwohl diese Überlegung nichts über die Art der Singularität aussagt (insbesondere nicht, ob eine Umwandlungswärme, ein Sprung oder ein Knick in der spezifischen Wärme auftritt).

Die — an sich wohl nicht neue — Überlegung²⁾ beruht darauf, dass in einem geordneten Zustand durch kleine Abweichungen von der idealen Ordnung die Kohärenz der geordneten Gebiete nicht gestört wird.

Ein Beispiel soll dies erläutern: Zwischen einem Kristall und einer Flüssigkeit besteht ja bekanntlich der qualitative Unter-

¹⁾ Vgl. den vorstehenden Vortrag von R. H. FOWLER.

²⁾ Die mitgeteilte Argumentation ist in [Die Diskussion mit H. BETHE entwickelt](#). L. LANDAU ist in [Umwandlungstemperaturen](#) zu ähnlichen Resultaten gekommen.

29

К ТЕОРИИ ФАЗОВЫХ ПЕРЕХОДОВ. II

ЖЭТФ, 7, 627, 1937
Phys. Zs. Sowjet., 11, 545, 1937

Доказывается невозможность существования кристаллов с функцией плотности, зависящей только от одной или двух координат. Рассматривается вопрос о переходах между жидкостью и кристаллом и показывается, что между ними невозможны точки Кюри, лежащие на краях на диаграмме ρ , T . Рассматриваются вопросы о природе жидких кристаллов.

В предыдущей работе [1] был рассмотрен с общей точки зрения вопрос о переходах, связанных с изменением симметрии тела. В этой работе мы рассматриваем с этой точки зрения вопрос о соотношении между различными состояниями вещества.

§ 1. Невозможность существования кристаллов с плотностью ρ , зависящей от одной или двух координат

Функция плотности ρ кристалла [1] есть функция всех трех координат: x, y, z . Возникает вопрос, возможны ли случаи, в которых ρ есть функция всего двух или даже одной переменной. Кристалл с $\rho = \rho(x)$ можно было бы рассматривать как состоящий из атомов, расположенных в виде параллельных прямых листов, причем эти листы, будучи все одинаково ориентированы по оси x , расположены совершенно беспорядочно друг относительно друга. Кристалл с $\rho = \rho(x, y)$ должен был бы состоять как бы из параллельных плоскостей, на каждой из которых атомы расположены в определенном порядке; однако положения самых этих плоскостей беспорядочны.

Пайерлс и Ландау:

отсутствие 2D кристаллов при конечных температурах

сэр Рудольф Пайерлс
(1907 — 1995)
концепция 'дырок'
зона Бриллюена
процессы переброса
подстановка Пайерлса
диамагнетизм металлов



Лев Ландау
(1908 — 1968)

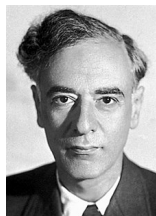
уровни Ландау

теория переходов 2-ого рода

теория сверхтекучести

теория Ферми жидкост

затухание Ландау

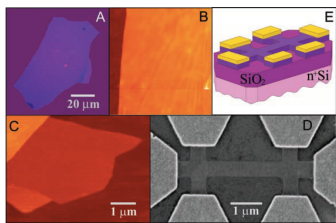


Графен в лаборатории:

Electric Field Effect in Atomically Thin Carbon Films

K. S. Novoselov,¹ A. K. Geim,^{1*} S. V. Morozov,² D. Jiang,¹
Y. Zhang,¹ S. V. Dubonos,² I. V. Grigorieva,¹ A. A. Firsov²

22 October 2004 VOL 306 SCIENCE www.sciencemag.org



сэр Андрей Гейм



nature

Vol 446 | 1 March 2007 | doi:10.1038/nature05545

LETTERS

The structure of suspended graphene sheets

Jannik C. Meyer¹, A. K. Geim², M. I. Katsnelson³, K. S. Novoselov², T. J. Booth² & S. Roth¹

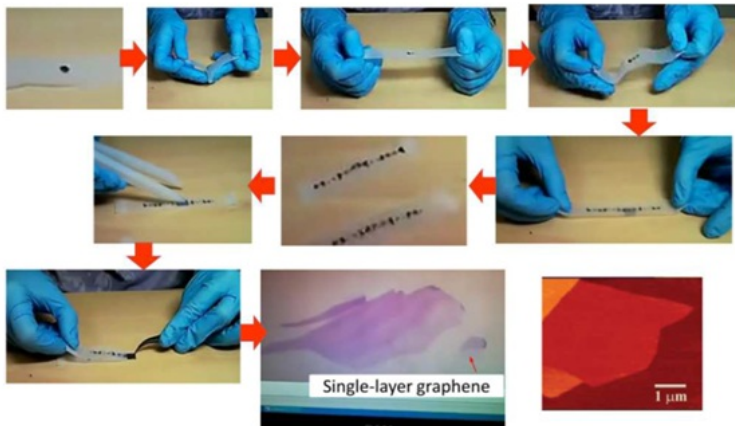


сэр Константин
Новоселов



Графен в лаборатории:

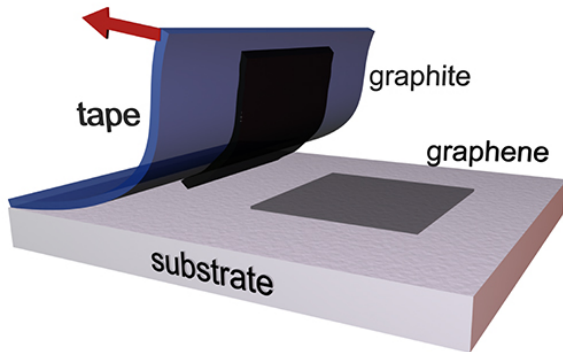
техника получения графена с помощью скотча



Source: The Royal Society of Chemistry 2013

Графен в лаборатории:

техника получения графена с помощью скотча



<https://physicsworld.com/a/how-to-make-graphene/>

Graphene
Scratching
101

Применение графена:

биомедицинские: сенсоры, доставщики лекарств

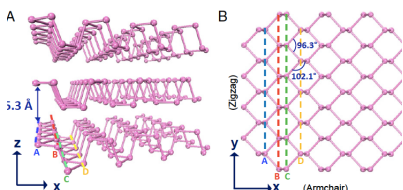
электроника: графеновые конденсаторы, графеновые транзисторы

сенсоры: детектирование примесных, потенциально вредных, молекул

мембранные: фильтрация воды от вредных примесей

https://en.wikipedia.org/wiki/Potential_applications_of_graphene#Drug_delivery

- o 2D materials with orthorhombic crystal structure
 - o single layer black phosphorous (phosphorene)



orthorhombic crystal structure with D_{2h} (Pmna) point group

a figure adopted from Ling, Wang, Huang, Xia, Dresselhaus, PNAS (2015)

- o metal monochalcogenide monolayers (SiS, SiSe, GeS, GeSe, SnS, SnSe)
- o monolayers GeAs₂, WTe₂, ZrTe₅, Ta₂NiS₅

[for a review, see Li et al., InfoMat (2019)]

Почему же графен существует:

наивная причина: очень большая изгибная жесткость κ

при комнатной температуре согласно Ландау и Пайерлсу
тепловые флюктуации разрушат лист графена размера
 $L \sim 10^{190}$ м

более фундаментальная причина: длинно-коррелированное
взаимодействие изгибных флюктуаций приводит к зависимости
изгибной жесткости и модуля Юнга от размера мембранны,

$$\kappa(L) = \kappa_0 \begin{cases} 1, & L < L_*, \\ (L/L_*)^\eta, & L > L_*. \end{cases}$$

$$Y(L) = Y_0 \begin{cases} 1, & L < L_*, \\ (L/L_*)^{2-2\eta}, & L > L_*. \end{cases}$$

$\eta \approx 0.795$ — универсальный индекс для всех мембран

Переход скомкования (crumpling):

характерный изгиб, связанный с тепловыми флюктуациями:

$$(h/L)^2 \sim \frac{k_B T}{\kappa_0}$$

нет $\ln(L/t)$ из-за зависимости κ от длины L !

плоская фаза при $T \lesssim \kappa_0$



смятая фаза при $T \gtrsim \kappa_0$



Тепловое сжатие:

отрицательный коэффициент теплового расширения:

$$\alpha_T \simeq -\frac{k_B}{4\pi\eta\kappa_0}$$

для графена $\alpha_T \approx 10^{-5} \text{ } 1/\text{K}$

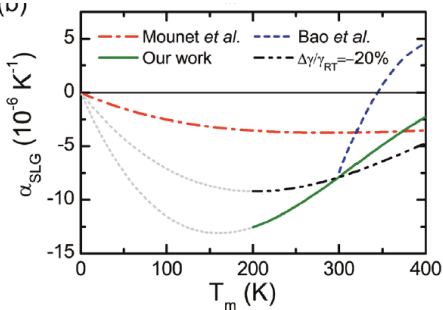


Negative Thermal Expansion Coefficient of Graphene Measured by Raman Spectroscopy

Dukee Yoon,^a Young-Woo Son,^a and Hyeyoung Cheong^{a,*}

^aDepartment of Physics, Seogang University, Seoul 131-741, Korea

*Korea Institute for Advanced Study, Seoul 130-722, Korea



Аномальный закон Гука:

напряжение σ приводит к появлению нового масштаба длины (по размерности):

$$[\sigma] \sim [Y], \quad [\varkappa] \sim [Y] [L]^2 \quad \Rightarrow \quad [L] \sim \sqrt{[\varkappa]/[\sigma]}$$

напряжение σ приводит к появлению нового масштаба длины (с учетом зависимости изгибной жесткости от масштаба):

$$L_\sigma = \sqrt{\varkappa(L_\sigma)/\sigma} \quad \Rightarrow \quad L_\sigma = L_* (\sigma_*/\sigma)^{1/(2-\eta)}$$

характерный масштаб напряжения:

$$L_\sigma \sim L_* \quad \Rightarrow \quad \sigma_* = Y_0 k_B T / \varkappa_0$$

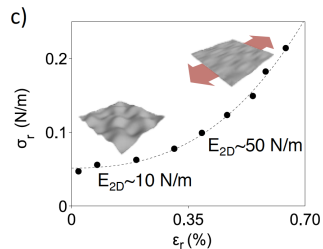
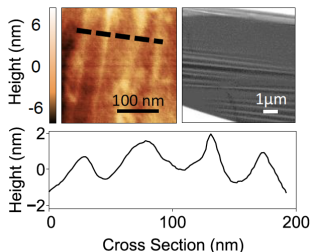
для графена $\sigma_* \approx 0.1 \text{ Н/м}$

Аномальный закон Гука:

аномальный закон Гука при $\sigma \ll \sigma_*$

$$\varepsilon \sim \frac{\sigma}{Y(L_\sigma)} \sim \frac{\sigma_*}{Y_0} \left(\frac{\sigma}{\sigma_*} \right)^\alpha, \quad \alpha = \frac{\eta}{2 - \eta} \approx 0.4$$

экспериментальное наблюдение аномального закона Гука в графене



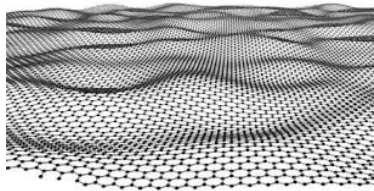
эксперимент в группе К. Болотина (Свободный университет Берлина, Германия)

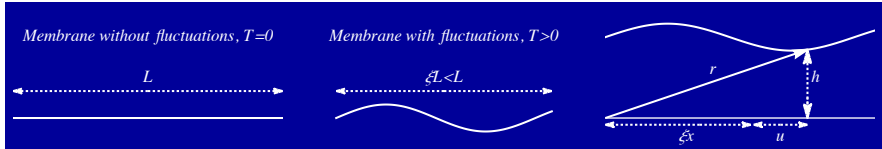
В эксперименте $\alpha = 0.1$ вместо 0.4 как предсказывает теория. Это связано с влиянием беспорядка, что приводит к уменьшению η примерно в 4 раза.

Заключение:

необычные механические свойства графена: аномальный закон Гука, отрицательный коэффициент теплового расширения, отрицательный коэффициент Пуассона

интересная физика все еще существует вокруг нас!





- parametrization of the surface 3D vector $\vec{r}(\boldsymbol{x})$ depending on 2D vector \boldsymbol{x} .
- surface is characterized by the internal metric tensor and curvature

$$g_{\alpha\beta}(\boldsymbol{x}) = \frac{\partial r_a}{\partial x^\alpha} \frac{\partial r_a}{\partial x^\beta}, \quad K_{\alpha\beta} = n_a \frac{\partial}{\partial x^\alpha} \frac{\partial r_a}{\partial x^\beta}$$

where n is a normal vector to the surface.

NB EXERCISE: to find the curvature tensor $K_{\alpha\beta}$ for the sphere.

- free energy of the membrane

$$F = \int d^2x \sqrt{\det g} \left[\frac{w}{2} (\text{tr } K)^2 + \tilde{w} \det K + \frac{t}{2} \text{tr } g + u \text{tr } g^2 + v(\text{tr } g)^2 + \dots \right]$$

[Paczuski, Kardar, Nelson (1988)]

- uniform stretching of the membrane $r = \xi_0 x$:

$$g_{\alpha\beta} = \xi_0^2 \delta_{\alpha\beta}, \quad K_{\alpha\beta} = 0, \quad F/L^2 = t\xi_0^2 + 2(u+2v)\xi_0^4$$

- mean-field Landau-type transition

$$\xi_0^2 = \begin{cases} -t/(u+2v), & t < 0 \quad \text{flat phase} \\ 0, & t > 0 \quad \text{crumpled phase} \end{cases}$$

$$F_0/L^2 = t^2/(u+2v)$$

- free energy of the membrane

$$F = \int d^2x \sqrt{\det g} \left[\frac{w}{2} (\text{tr } K)^2 + \tilde{w} \det K + \frac{t}{2} \text{tr } g + u \text{tr } g^2 + v (\text{tr } g)^2 + \dots \right]$$

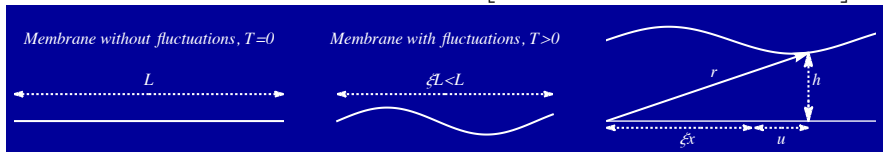
- parametrization of the position on the membrane $\mathbf{R} = \xi_0 \mathbf{r}$:

$$F = F_0 + \int d^2x \left[\frac{\kappa}{2} (\text{tr } K)^2 + \tilde{\kappa} \det K + \mu \text{tr } U^2 + \frac{\lambda}{2} (\text{tr } U)^2 \right]$$

where $\kappa = w\xi_0^2$, $\tilde{\kappa} = \tilde{w}\xi_0^2$, $\mu = 4u\xi_0^4$, $\lambda = 8v\xi_0^4$, and deformation tensor

$$U_{\alpha\beta} = \frac{1}{2} \left(\frac{\partial r_a}{\partial x^\alpha} \frac{\partial r_a}{\partial x^\beta} - \delta_{\alpha\beta} \right), \quad K_{\alpha\beta} = n_a \frac{\partial}{\partial x^\alpha} \frac{\partial r_a}{\partial x^\beta}$$

- membrane's free energy $F = \int d^2\mathbf{x} \left[\frac{\kappa}{2} (\text{tr } K)^2 + \mu \text{tr } U^2 + \frac{\lambda}{2} (\text{tr } U)^2 \right]$



- parametrization of the position on the membrane $\mathbf{r} = \xi \mathbf{x} + \mathbf{u} + h \mathbf{e}_z$:

$$\text{tr } K = \mathbf{n} \Delta \mathbf{r} \simeq \Delta h, \quad U_{\alpha\beta} = \frac{\xi^2 - 1}{2} \delta_{\alpha\beta} + u_{\alpha\beta},$$

$$u_{\alpha\beta} = \frac{1}{2} (\xi \partial_\alpha u_\beta + \xi \partial_\beta u_\alpha + \partial_\alpha u_\gamma \partial_\beta u_\gamma + \partial_\alpha h \partial_\beta h)$$

- final form of the free energy

$$F = L^2 (\lambda + \mu) \frac{(\xi^2 - 1)^2}{2} + (\lambda + \mu) \frac{\xi^2 - 1}{2} \int d^2\mathbf{x} [\partial_\alpha h \partial_\alpha h + \partial_\alpha u_\beta \partial_\alpha u_\beta] \\ + \int d^2\mathbf{x} \left[\frac{\kappa}{2} (\Delta h)^2 + \mu u_{\alpha\beta} u_{\beta\alpha} + \frac{\lambda}{2} u_{\alpha\alpha} u_{\beta\beta} \right]$$

- Helmholtz free energy

$$\mathcal{F} = -T \ln \int D[h, \mathbf{u}] e^{-F/T},$$

$$F = L^2(\lambda + \mu) \frac{(\xi^2 - 1)^2}{2} + (\lambda + \mu) \frac{\xi^2 - 1}{2} \int d^2 \mathbf{x} [\partial_\alpha h \partial_\alpha h + \partial_\alpha u_\beta \partial_\alpha u_\beta]$$
$$+ \int d^2 \mathbf{x} \left[\frac{\kappa}{2} (\Delta h)^2 + \mu u_{\alpha\beta} u_{\beta\alpha} + \frac{\lambda}{2} u_{\alpha\alpha} u_{\beta\beta} \right]$$

- tension

$$\sigma = \frac{1}{L^2} \frac{\partial \mathcal{F}}{\partial \xi^2}$$

- Gibbs free energy

$$\Phi = \mathcal{F} - \sigma(\xi^2 - 1), \quad \xi^2 - 1 = -\frac{\partial \Phi}{\partial \sigma}$$

- Hooke's law in the absence of fluctuations ($u_x = u_y = h = 0$)

$$\sigma = (\lambda + \mu)(\xi^2 - 1)$$

- Lagrangian for a membrane

$$\mathcal{L} = \frac{1}{2}\rho \int d^2x \left[\left(\frac{\partial h}{\partial t} \right)^2 + \left(\frac{\partial \mathbf{u}}{\partial t} \right)^2 \right] - F,$$

$$F = L^2(\lambda + \mu) \frac{(\xi^2 - 1)^2}{2} + (\lambda + \mu) \frac{\xi^2 - 1}{2} \int d^2\mathbf{x} [\partial_\alpha h \partial_\alpha h + \partial_\alpha u_\beta \partial_\alpha u_\beta]$$
$$+ \int d^2\mathbf{x} \left[\frac{\kappa}{2} (\Delta h)^2 + \mu u_{\alpha\beta} u_{\beta\alpha} + \frac{\lambda}{2} u_{\alpha\alpha} u_{\beta\beta} \right]$$

where ρ is the mass density of a membrane

NB $\kappa(\Delta h)^2 \sim Y(\nabla h)^4$ or $\kappa/Y \sim \langle h^2 \rangle \sim T/(\kappa L^2)$ hence $L_*^2 \sim \kappa^2/(YT)$

- Fourier transform to momentum and frequency space

$$h(\mathbf{x}, t) = \int \frac{d^2 \mathbf{q} d\omega}{(2\pi)^3} h(\mathbf{q}, \omega) e^{i\mathbf{q}\mathbf{x} - i\omega t}, \quad u_\alpha(\mathbf{x}, t) = \int \frac{d^2 \mathbf{q} d\omega}{(2\pi)^3} u_\alpha(\mathbf{q}, \omega) e^{i\mathbf{q}\mathbf{x} - i\omega t}$$

- quadratic part of the Lagrangian

$$\mathcal{L}^{(2)} = \frac{1}{2} \int \frac{d^2 \mathbf{q} d\omega}{(2\pi)^3} \left[h(\mathbf{q}, \omega) (\rho\omega^2 - \kappa q^4) h(-\mathbf{q}, -\omega) + u_\alpha(\mathbf{q}, \omega) M_{\alpha\beta} u_\beta(-\mathbf{q}, -\omega) \right]$$

$$M_{\alpha\beta} = [(\rho\omega^2 - \kappa q^4 - \mu\xi^2 q^2 - (\lambda + \mu)(\xi^2 - 1)q^2)]\delta_{\alpha\beta} - (\lambda + \mu)\xi^2 q_\alpha q_\beta$$

- spectrum of in-plane transverse and longitudinal phonons (at $q \rightarrow 0$)

$$\det M = 0 \implies \omega_q^{(l)} = q \sqrt{[\sigma_0 + (2\mu + \lambda)\xi^2]/\rho},$$

$$\omega_q^{(t)} = q \sqrt{[\sigma_0 + \mu\xi^2]/\rho}$$

where $\sigma_0 = (\lambda + \mu)(\xi^2 - 1)$.

- spectrum of flexural phonons

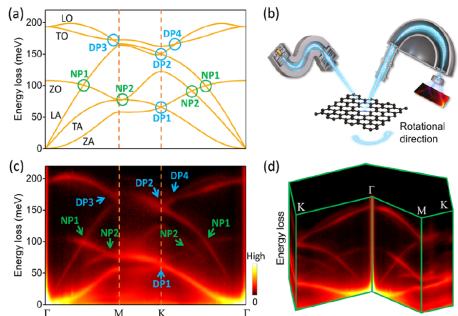
$$\omega_q^{(f)} = \sqrt{[q^2(\lambda + \mu)(\xi^2 - 1) + q^4\kappa]/\rho}$$

Phonons: spectrum of in-plane and flexural phonons - II

- out-of-plane (flexural) phonons with spectrum

$$\omega_q^{(f)} = q^2 \sqrt{\kappa_0 / \rho},$$

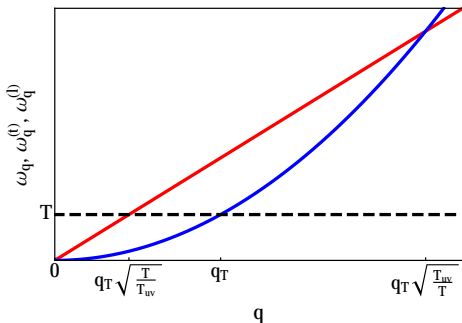
where κ_0 is bending rigidity



measurements of the phonon spectrum in graphene by means of high-resolution electron energy-loss spectroscopy

a figure adopted from Jiade Li et al., Phys. Rev. Lett. (2023)

Phonons: spectrum of in-plane and flexural phonons - III



- temperature momentum: $\hbar\omega_q \sim T \implies q_T = \frac{\rho^{1/4} T^{1/2}}{\hbar^{1/2} \varkappa^{1/4}}$
- ultra-violet energy scale: $T_{uv} \approx g\varkappa$, $g = \frac{\hbar\mu}{\rho^{1/2} \varkappa^{3/2}}$
- for graphene: $q_T \approx 0.1 \text{ nm}^{-1}$, $g \approx 0.05$, $T_{uv} \approx 500 \text{ K}$

- stretching of 2D membrane at finite temperature in the absence of tension

$$0 = \frac{1}{L^2} \frac{\partial \mathcal{F}}{\partial \xi^2} \implies \xi^2 = 1 - \frac{1}{2} \langle (\nabla h)^2 + (\nabla \mathbf{u})^2 \rangle$$
$$\xi^2 = 1 - T \int \frac{d^2 \mathbf{q}}{(2\pi)^2} \frac{q^2}{2\kappa q^4} = 1 - \frac{T}{4\pi\kappa} \ln \frac{L}{a}$$

- $\xi^2 = 0$ at any $T > 0$ in the thermodynamic limit $L \rightarrow \infty$.

[Peierls (1934), Landau (1937)]

- 2D crystal is unstable in harmonic approximation. But phonons do interact

NB for graphene $\kappa \approx 1.1$ eV, so for $L \sim 1$ μm reduction of ξ^2 is 2% at room temperature!

NB PROBLEM: to estimate the contribution from $(\nabla \mathbf{u})^2$ term into ξ^2 .

Interaction: the role of phonon-phonon interaction -I

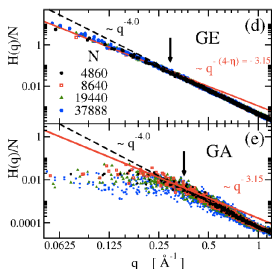
- renormalization in the absence of tension, $\sigma = 0$,
- bending rigidity

$$\kappa(q) \simeq \kappa \begin{cases} 1, & q \gg q_* \\ (q_*/q)^\eta, & q \ll q_* \end{cases}$$

- Young's modulus ($Y = \frac{4\mu(\mu+\lambda)}{(2\mu+\lambda)}$)

$$Y(q) \simeq Y \begin{cases} 1, & q \gg q_* \\ (q/q_*)^{2-2\eta}, & q \ll q_* \end{cases}$$

[Nelson,Peliti (1987); Aronovitz,Lubensky (1988)]



- Ginzburg length

$$q_*^{-1} \sim \frac{\kappa}{\sqrt{YT}}$$

numerical computations give $\eta \approx 0.795 \pm 0.01$

[Tröster (2013)]

NB for graphene $\kappa_0 \approx 1.1 \text{ eV}$, $Y \approx 340 \text{ N/m}$, and $q_*^{-1} \approx 1 \text{ nm}$ at room temperature

Costamagna, Neek-Amal, Los, Peeters (2012)

$$H(q) \sim \frac{T}{\kappa(q)q^4}$$

- stretching of 2D membrane at finite temperature in the absence of tension

$$0 = \frac{1}{L^2} \frac{\partial \mathcal{F}}{\partial \xi^2} \implies \xi^2 = 1 - \frac{1}{2} \langle (\nabla h)^2 + (\nabla \mathbf{u})^2 \rangle$$
$$\xi^2 = 1 - T \int_{q < q_*} \frac{d^2 \mathbf{q}}{(2\pi)^2} \frac{q^2}{2\kappa(q)q^4} = 1 - \frac{T}{4\pi\eta\kappa}$$

- crumpling transition at $T_{\text{cr}} = 4\pi\eta\kappa$ ($\xi^2 = 0$ at $T \geq T_{\text{cr}}$)

[Paczuski, Kardar, Nelson (1988); David, Gitter (1988)]



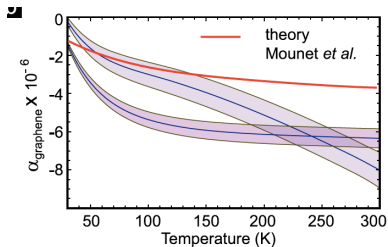
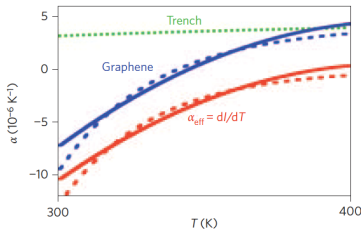
flat phase
 $T < T_{\text{cr}}$



crumpled phase
 $T > T_{\text{cr}}$

- negative thermal expansion coefficient (at $T < T_{\text{cr}}$)

$$\alpha_T = \frac{\partial \xi^2}{\partial T} = -\frac{1}{4\pi\eta\varkappa}$$



[adopted from Bao et al. (2009); Singh et al. (2010)]

NB constant negative thermal expansion coefficient violates the 3d law of the thermodynamics!?

- the effect of tension σ on the phonon spectrum (in harmonic approximation) for in-plane phonons

$$\omega_q^{(t)} = q\sqrt{(\mu + \sigma)/\rho}, \quad \omega_q^{(l)} = q\sqrt{(\lambda + \mu + \sigma)/\rho},$$

and for flexural phonons

$$\omega_q^{(f)} = \sqrt{(\kappa q^4 + \sigma q^2)/\rho} = \begin{cases} q^2 \sqrt{\kappa/\rho}, & q \gg q_\sigma^{(0)}, \\ q \sqrt{\sigma/\rho}, & q \ll q_\sigma^{(0)}, \end{cases}$$

where $q_\sigma^{(0)} = \sqrt{\sigma/\kappa}$

- tension stops the renormalization of bending rigidity and Young's modulus

$$\kappa(q) \simeq \kappa \begin{cases} 1, & q_* \ll q, \\ (q_*/q)^\eta, & q_\sigma \ll q \ll q_*, \\ (q_*/q_\sigma)^\eta, & q \ll q_\sigma, \end{cases} \quad Y(q) \simeq Y \begin{cases} 1, & q_* \ll q, \\ (q/q_*)^{2-2\eta}, & q_\sigma \ll q \ll q_*, \\ (q_\sigma/q_*)^{2-2\eta}, & q \ll q_\sigma, \end{cases}$$

where $q_\sigma = q_*(\sigma/\sigma_*)^{1/(2-\eta)}$ and $\sigma_* = \kappa q_*^2 \sim TY/\kappa$

- definition:

$$\nu = -\frac{\varepsilon_{\perp}}{\varepsilon_l}$$

where ε_l - longitudinal stretching, ε_{\perp} - transverse deformation

- classical value

$$\nu_{\text{cl}} = \frac{\lambda}{2\mu + (D - 1)\lambda}$$

where μ and λ are Lamé coefficients

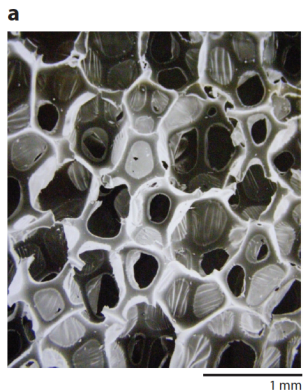
- thermodynamic stability:

$$-1 < \nu < 1/(D - 1)$$

- for example, $\nu = 0.33$ for aluminum

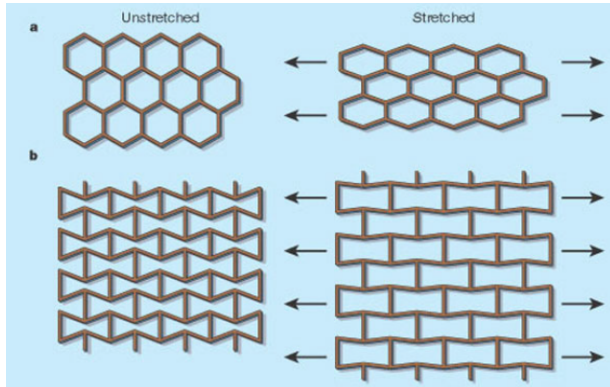
- polyurethane foam with reentrant structure: $\nu = -0.7$

[Lakes, Science (1987)]



[adopted from Lakes, Annu. Rev. Mater. Res. (2017)]

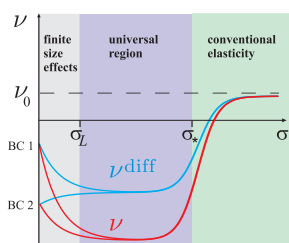
- positive vs negative Poisson's ratio:



[adopted from Lakes, Nature (2001)]

Results: differential and absolute Poisson's ratios

- differential Poisson's ratio, $\sigma_x = \sigma + \delta\sigma$, $\sigma_y = \sigma$:
 $\nu_{\text{diff}} = -\delta\varepsilon_y/\delta\varepsilon_x$
- absolute Poisson's ratio, $\sigma_x = \sigma$, $\sigma_y = 0$: $\nu = -\varepsilon_y/\varepsilon_x$



$$\nu = \nu_{\text{diff}} = \nu_{\text{cl}} = \frac{\lambda}{2\mu + \lambda}, \quad \sigma \gg \sigma_*$$

$$\nu \neq \nu_{\text{diff}}, \quad \sigma_L \ll \sigma \ll \sigma_*$$

$$\nu = \nu_{\text{diff}}, \quad \sigma \ll \sigma_L$$

$$\sigma_L = \sigma_* (q_* L)^{\eta-2} \quad \text{for } q_* L \gg 1$$

- for graphene $\sigma_* = \kappa q_*^2 = YT/\kappa \approx 1 \text{ N/m}$ and $\nu_{\text{cl}} \approx 0.1$

NB EXERCISE: using Hooke's law to derive the classical expression for the Poisson's ratio:

$$\nu_{\text{cl}} = \lambda/(2\mu + \lambda)$$

Conclusions:

- 2D flexible crystalline materials have interesting unusual physical properties:
 - anomalous Hooke's law
 - negative thermal expansion
 - negative Poisson's ratio
- Future reading:
 - I.S.Burmistrov, I.V. Gornyi, V.Yu. Kachorovskii, M.I. Katsnelson, A.D. Mirlin, "Quantum elasticity of graphene: Thermal expansion coefficient and specific heat Phys. Rev. B 94, 195430 (2016)
 - I.S. Burmistrov, I.V. Gornyi, V.Yu. Kachorovskii, M.I. Katsnelson, J.H. Los, A. D. Mirlin, "Stress-controlled Poisson ratio of a crystalline membrane: Application to graphene Phys. Rev. B 97, 125402 (2018)
 - D.R. Saykin, V.Yu. Kachorovskii, and I.S. Burmistrov, "Phase diagram of a flexible two-dimensional material Phys. Rev. Research 2, 043099 (2020)
 - I.S. Burmistrov, V. Yu. Kachorovskii, M. J. Klug, J. Schmalian, "Emergent continuous symmetry in anisotropic flexible two-dimensional materials Phys. Rev. Lett. 128, 096101 (2022)



Литература для дальнейшего чтения:

Уточнение закона физики: Почему существует графен: от
Ландау и Пайерлса до Гейма и Новоселова,
Коммерсант Наука <https://www.kommersant.ru/doc/483721>

Тимошенко С.П. - История науки о сопротивлении материалов
(1957, ГИТТЛ)

Л.Д. Ландау, Е.М. Лифшиц, том. 7, Теория упругости.

Nelson, Piran, Weinberg, Statistical mechanics of membranes and surfaces.

Katsnelson, The Physics of Graphene.